УДК 551.465.7

ГЕОФИЗИКА

Р. Г. ГОРДЕЕВ, Б. А. КАГАН, В. Я. РИВКИНД

ЧИСЛЕННОЕ РЕШЕНИЕ УРАВНЕНИЙ ДИНАМИКИ ПРИЛИВОВ В МИРОВОМ ОКЕАНЕ

(Представлено академиком Г. И. Марчуком 19 VI 1972)

За 140 лет, прошедших после опубликования первой котидальной карты Уэйвелла (¹), о приливах в Мировом океане накопилась богатая литература (²-¹6). Она вполне отразила тот интерес, который названная проблема стала вызывать, как только появилась минимальная возможность ее решения. Основная задача перечисленных работ заключалась в освещении картины приливов и построении мировых приливных карт. Для этого в одних работах (¹, 8) привлекались все имеющиеся данные наблюдений и элементарные представления о природе изучаемого явления, в других — сочетание теоретических соображений и данных наблюдений на островных и береговых пунктах измерений уровня (¹¹-¹³) или только на последних (¹⁵).

Если получение подробной картины приливов не является самоцелью и ставится задача объяснить механизм формирования приливных движений, то задание любой другой исходной информации, кроме внешних параметров, становится мало оправданным. В настоящей работе приливы в Мировом океане рассчитываются только по внешним параметрам, а именно по заданному распределению приливообразующих сил, известной топографии дна и конфигурации береговой линии. Такой путь использовался уже в работах (9, 10, 14, 16), однако, в отличие от этих работ, здесь мы откажемся от ряда допущений при описании сил трения, привлечение которых приводит, в частности, к существенному завышению результирующей величины диссипации приливной энергии.

В основу данного исследования была положена модель приливных движений, разработанная в (18). Уравнения динамики приливов в этой модели записываются в виде

$$\frac{\partial \mathbf{w}}{\partial t} + A_1 \mathbf{w} = -\frac{gD}{a_0} \operatorname{grad} \zeta - \frac{r}{D^2} |\mathbf{w}| \mathbf{w} + \frac{k_r}{a_0^2} \left(\Delta \mathbf{w} - \frac{\cos 2\theta}{\sin^2 \theta} \mathbf{w} + A_2 \frac{\partial \mathbf{w}}{\partial \psi} \right) + \mathbf{f}, (1)$$

$$\frac{\partial \zeta}{\partial t} + \operatorname{div} \mathbf{w} = 0, \tag{2}$$

где, помимо общензвестных обозначений, ${\bf w}-$ вектор-функция с компонентами $V_{\theta},\ V_{\psi},$ которые имеют смысл составляющих полного потока в направлении осей θ и ψ (здесь θ — дополнение до широты, ψ — долгота), $D=D(\theta,\ \psi)$ — глубина,

$$A_1 = \begin{pmatrix} 0 & -2\omega\cos{\theta} \ 2\omega\cos{\theta} & 0 \end{pmatrix}, \quad A_2 = \begin{pmatrix} 0 & -rac{2\cos{\theta}}{\sin^2{\theta}} \ rac{2\cos{\theta}}{\sin^2{\theta}} & 0 \end{pmatrix},$$

 ω — угловая скорость вращения Земли; свободный член f характеризует собой влияние приливообразующих сил, он связан с величиной статического прилива ζ^+ соотношением

$$f = \frac{gD}{a_0} \operatorname{grad} \zeta^+, \tag{3}$$

причем для средних астрономических условий, например для гармоники M_2 приливообразующих сил,

$$\zeta^{+} = 0.2425 \sin^2 \theta \cos (\sigma t + 2\psi);$$
 (4)

здесь σ — частота волны M_2 , ψ отсчитывается от меридиана Гринвича к востоку.

В принятой модели механизм диссипации приливной энергии описывается обычным способом. Поэтому коэффициенты придонного и горизонтального турбулентного трения (в (1) r и $k_{\rm r}$ соответственно) представляют собой числовые постоянные.

На береговой черте Г ставится условие прилипания

$$\mathbf{w}|_{\Gamma} = 0. \tag{5}$$

Так же, как и в (⁹, ¹⁰, ¹⁶), никаких предположений относительно характера изменения w, ζ во времени не делается. Вместо этого предполагается, что в начальный момент времени океан находится в состоянии покоя:

$$\mathbf{w}, \ \zeta|_{t=0} = 0.$$
 (6)

Для задачи (1), (2), (5), (6) справедливы следующие два утверждения.

Теорема 1. Если Ω — произвольная область, лежащая в сферическом прямоугольнике $\{0 < \theta_0 \le \theta \le \theta_1 < \pi; \ 0 \le \psi \le 2\pi\}$, $f \in L_2(Q_\tau)$, $Q_\tau = \Omega \times [0, T]$, то задача (1), (2), (5), (6) однозначно разрешима на любом конечном интервале времени [0, T].

Теорема 2. Если Ω — область, указанная в теореме 1, вынуждающая сила f описывается соотношениями (3), (4) и $D(\theta, \psi) = D_0 = \text{const}$, то при малых значениях r существует периодическое решение задачи (1), (2), (5), (6).

Доказательство теоремы 1 проводится методом Галеркина. Предварительно выводятся априорные «энергетические» оценки точных решений, на основании которых затем доказывается однозначная разрешимость соответствующих галеркинских систем. Указанные оценки и теорема о слабой компактности ограниченных в гильбертовых пространствах множеств позволяет доказать существование слабого предела последовательности приближенных решений по Галеркину. Этот предел и является искомым решением нашей задачи.

При доказательстве теоремы 2 применяется метод малого параметра. Прежде всего устанавливается существование периодического решения системы (1), (2), (5), (6) в линейном приближении (r=0). Затем учитывается тот факт, что нелинейный член в (1) удовлетворяет условию Липшица и поэтому периодическое решение пепрерывно продолжается на случай малых значений r (17).

Система (1) — (6) решалась численно по схеме переменных паправлений, аналогичной той, которая была предложена в (18). С помощью метода «энергетических» оценок (19) было показано, что используемая схема устойчива, если выполняются следующие условия:

$$\frac{2g \max D}{\frac{\Omega_h}{(a_0 h \delta)^2}} + \frac{M}{\delta^2} \sqrt{\frac{g}{\min D}} + \frac{5M\tau^2 g}{a_0 h \delta^2} + \frac{2k_r \tau}{a_0^2 h \delta^2} + \frac{\omega \tau}{\delta} < 1;$$

$$\frac{2k_r \tau}{(a_0 h \delta)^2} < 1, \tag{7}$$

где M=1 / a_0 $\max_{\Omega_h}|\operatorname{grad} D|$; $\delta=\min$ ($\sin\theta_0$; $\sin\theta_1$), индексом h фиксируются функции, рассматриваемые в точках широтно-долготной сетки с угловым шагом h, τ — шаг по времени.

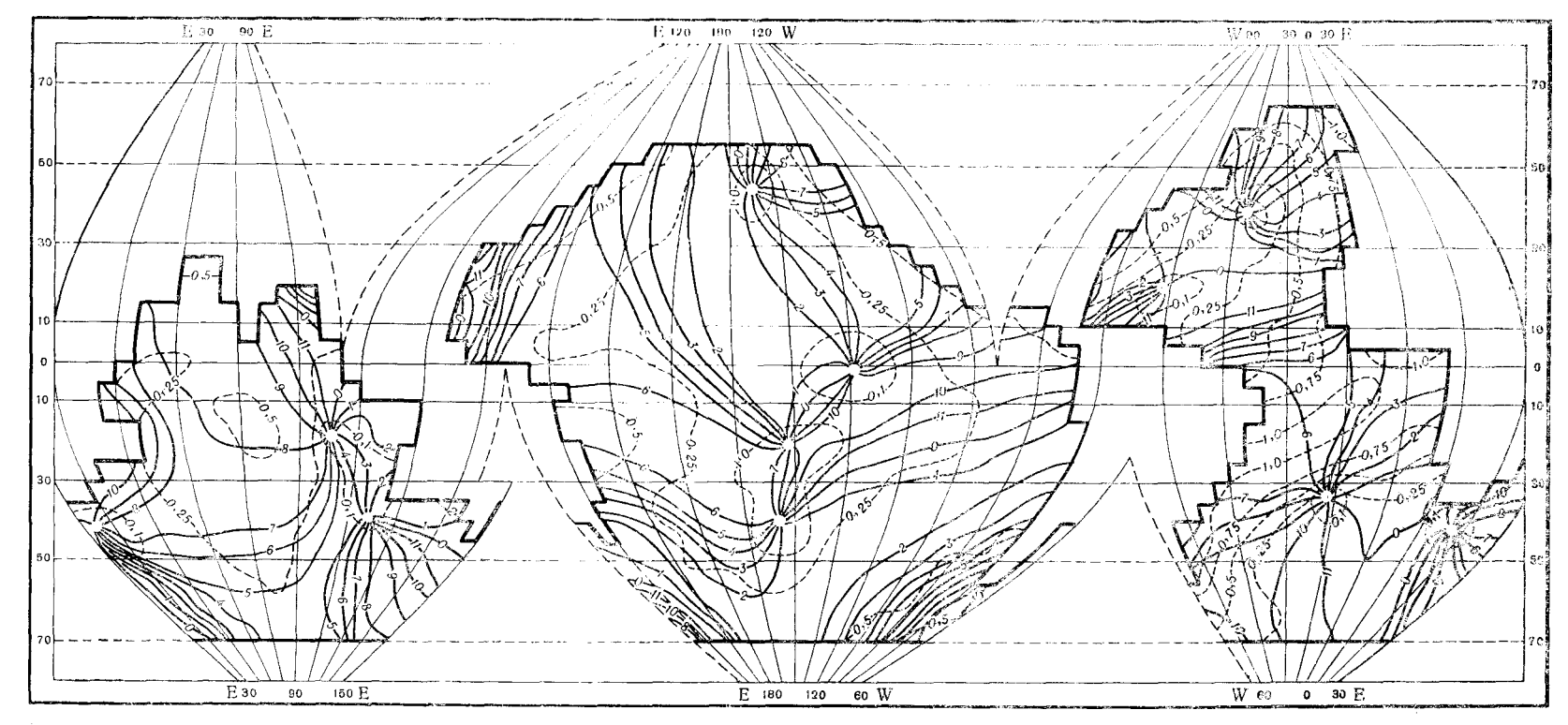


Рис. 1. Приливная карта Мирового океана, Волна M_2 . Сплошными линиями показано время наступления полной воды (в средних лунных часах) относительно кульминации Луны на меридиане Гринвича, пунктирными линиями — амплитуда прилива (в метрах)

Сходимость схемы была доказана на основе методики, разработанной в (20). В результате выяснилось, что эта схема сходится к гладкому решению системы (1) — (6) со скоростью $\sqrt{\tau} + h$ при соотношении шагов $\tau \sim h^2$.

В практических расчетах τ и h выбирались соответственно равными 6 мин. и 5°. Поле глубин было заимствовано из (14). Расчет, выполненный при $r=3\cdot 10^{-3}$ и $k_{\rm r}=10^7$ см²/сек *, продолжался до выхода решения на периодический режим. Критерием его установления служило условие совпадения с 1%-ной точностью средней по области кинетической энергии в два последующих приливных периода. В рассматриваемом случае, когда за исходное состояние принималось состояние покоя, приливные движения, соответствующие гармонике M_2 приливообразующих сил, приспосабливаются к изменению последних за 22 приливных периода.

Построенная по результатам вычислений карта изоамплитуд и котидальных линий (рис. 1) не противоречит современным представлениям о пространственной структуре приливов в Мировом океане. Она находится также в качественном согласии с котидальными картами, построенными в (6-8) по данным наблюдений. Это позволяет надеяться, что принятая здесь модель может быть использована для проверки существующих гипотез о механизме формирования приливных явлений в Мировом океане.

Ленинградское отделение Института океанологии им. П. П. Ширшова Академин наук СССР Поступило 18 V 1972

Вычислительный центр Ленииградского государственного университета им. А. А. Жданова

цитированная литература

¹ W. Whewell, Phil. Trans. Roy. Soc. London, 147 (1833). ² G. B. Airy, Encyclopedia Metropolitana, 5, 241 (1842). ³ R. A. Harris, Manual of Tides, 4, Appl. 5, 313 (1904). ⁴ R. Sterneck, Sitzungber. d. Akad. Wiss. Wien, Abt. 2a, 129, 131 (1920). ⁵ R. Sterneck, ibid., 130, 363 (1921). ⁶ G. Dietrich, Veröffentl. Inst. Meeresk. Univ. Berlin, A41, 1 (1944). ⁻ C. Villain, Ann. Hydrogr. Paris, 3, 269 (1951). ⁶ G. Dietrich, Allgemeine Meereskunde, Berlin, 1957. ఄ T. Ueno, Oceanogr. Mag., 15, 99 (1964). ¹¹ T. Ueno, Oceanogr. Mag., 16, 47 (1964). ¹¹ K. Д. Тирон. Ю. Н. Сергеев, А. Н. Мичурин, Вестн. Ленингр. унив., сер. геол. и геогр., № 24, 123 (1967). ¹² К. Т. Богданов, В. А. Магарик, ДаН, 172, 1315 (1967). ¹³ К. Т. Богданов, В. А. Магарик, Физика атмосферы и океана, 5, 1309 (1969). ¹⁴ С. L. Рекегіs, Ү. Ассаф, Phil. Trans. Roy. Soc. London, A265, 413 (1969). ¹⁵ М. Непфегshott, W. Munk, Ann. Rev. Fluid Mech., 2, 205 (1970). ¹⁶ W. Zahel, Mitt. Inst. Меегеsk. Univ. Натвиту. № 17, 1 (1970). ¹⁷ И. Г. Малкин, Некоторые задачи теории нелинейных колебаний, М.— Л., 1956. ¹ів Г. И. Марчук, Б. А. Каган, Р. Э. Тамсалу, Физика атмосферы и океана, 5, 694 (1969). ¹⁰ О. А. Ладыженская, Математические вопросы динамики вязкой несжимаемой жидкости, «Наука», 1970. ²⁰ О. А. Ладыженская, В. Я. Ривкинд, Изв. АН СССР, сер. матем., 35, 259 (1971).

^{*} Этот коэффициент горизоптального турбулентного трения примерно на порядок меньше его величины, характеризующей интенсивность макротурбулентного обмена за счет движений с масштабом, меньшим горизоптального плага сетки. Тем самым мы преднамеренно ослабили эффект горизоптального турбулентного трения, чтобы приблизить исходные уравнения динамики приливов к их традиционной форме. Однако полностью исключить горизоптальное турбулентное трение, не нарушив при этом выполнения на береговой черте естественного условия прилипания, мы не можем.